

МИНИСТЕРСТВО НЕФТЯНОЙ ПРОМЫШЛЕННОСТИ

РУКОВОДЯЩИЙ ДОКУМЕНТ

МЕТОДИКА
РАСЧЕТА УСЛОВИЙ БЕСКАВИТАЦИОННОЙ
РАБОТЫ ПОДВОДЯЩИХ НЕФТЕПРОВОДОВ
ПОДПОРНЫХ НАСОСОВ

РД 39-30-496-80

1981

Министерство нефтяной промышленности
ВСЕСОЮЗНЫЙ НАУЧНО-ИССЛЕДОВАТЕЛЬСКИЙ ИНСТИТУТ ПО СБОРУ,
ПОДГОТОВКЕ И ТРАНСПОРТУ НЕФТИ И НЕФТЕПРОДУКТОВ
ВНИИСПГнефть

УТВЕРЖДЕНА

первым заместителем министра
нефтяной промышленности
В.И.Кремневым
31 декабря 1980 г.

РУКОВОДЯЩИЙ ДОКУМЕНТ

М Е Т О Д И К А
РАСЧЕТА УСЛОВИЙ БЕСКАВИТАЦИОННОЙ
РАБОТЫ ПОДВОДЯЩИХ НЕФТЕПРОВОДОВ
ПОДЛОРНЫХ НАСОСОВ
РД 39-30-496-80

РУКОВОДЯЩИЙ ДОКУМЕНТ

Методика расчета условий бескавитационной работы подводящих нефтепроводов подпорных насосов

РД 39-30-496-80

Приказом Министерства нефтяной промышленности
от 23.01.81 № 61

Срок введения установлен с 10.02.81

Срок действия до 10.02.86

Настоящий руководящий документ устанавливает метод расчета на кавитационную устойчивость подводящих нефтепроводов подпорных магистральных насосов.

Методика разработана в дополнение к РД 39-30-39-78 и предназначена специалистам, занятым проектированием и эксплуатацией насосных станций.

I. ОБЩИЕ ПОЛОЖЕНИЯ

I.1. Расчет нефтепровода на кавитационную устойчивость производится с целью обеспечения бескавитационных условий при протекании жидкости по трубам и местным сопротивлениям.

I.2. Проверка нефтепровода на кавитационную устойчивость заключается в сравнении располагаемого напора в любой точке подводящего нефтепровода с допустимым.

I.3. Наиболее вероятные элементы, в которых могут иметь место кавитационные явления - отвод и приемо-раздаточный патрубок (ПРП), расположенные на надземной части подводящего нефтепровода.

I.4. Условные обозначения.

P_0 - атмосферное давление, Па;

P_{kp} - критическое давление кавитации, Га;

$\frac{P_0}{P_g}$ - напор, соответствующий давлению насыщенных паров перекачиваемой жидкости, м;

H_{kp} - критический напор, м;
 h_n - суммарные гидравлические потери напора, м;
 Q - расход жидкости, $\text{м}^3/\text{с}$;
 V - средняя скорость потока, $\text{м}/\text{с}$;
 d - внутренний диаметр трубопровода, м;
 ρ - плотность жидкости, $\text{кг}/\text{м}^3$;
 g - ускорение силы тяжести, $\text{м}/\text{с}^2$;
 T - температура перекачиваемой жидкости, град. К;
 χ_{kp} - критическое число кавитации местного сопротивления.

2. РАСЧЕТ УСЛОВИЙ БЕСКАВИТАЦИОННОЙ РАБОТЫ ПОДВОДНЫХ НЕФТЕПРОВОДОВ

2.1. Исходные данные.

Для выполнения расчетов по настоящей методике необходимы следующие исходные данные:

- технологическая схема системы: "резервуарный парк-подводящие нефтепроводы - подпорные насосы" с указанием геометрических размеров (диаметром d_i , длии L_i) участков трубопровода, включая диаметр приемо-раздаточного патрубка d_p ;
- данные о свойствах перекачиваемой жидкости с учетом температуры перекачки (плотность, вязкость, давление насыщенных паров);
- суммарный расход жидкости и число приемо-раздаточных патрубков на откатке.

2.2. Условия бескавитационной работы подводящего нефтепровода:

$$\frac{\rho_0}{\rho g} + H h_n = \frac{V^2}{2g} \geq \chi_{kp} \frac{V^2}{2g} + \frac{\rho_{kp}}{\rho g}. \quad (I)$$

Левая часть неравенства - располагаемый напор в расчетном сечении, складывающийся из напора, создаваемого атмосферным давлением в резервуаре и разностью инвейрных отметок уровня нефти в резервуаре и соответствующей (расчетной) точкой трубопровода за вычетом гидравлических потерь на участке от резервуара до рассматриваемого сечения и скоростного напора.

Правая часть неравенства - допустимый напор, представляющий сумму критического давления кавитации и кавитационного запаса местного сопротивления.

При наземной укладке подводящего трубопровода или малом его заглублении кавитация при определенных условиях может возникнуть в линейной части.

Для таких трубопроводов по формуле (I) определяется располагаемый напор в любой точке трубопровода (наименьший напор будет перед подпорным насосом), который должен быть больше величины $P_{kp}/\rho g$ во избежание кавитации перекачиваемой жидкости. При этом проверочный расчет следует производить для условий минимально допустимого залива в резервуаре. В этом случае разность инвейрных отметок уровня нефти в резервуаре и расчетной точкой трубопровода H_{min} определяется в соответствии с рис. I.

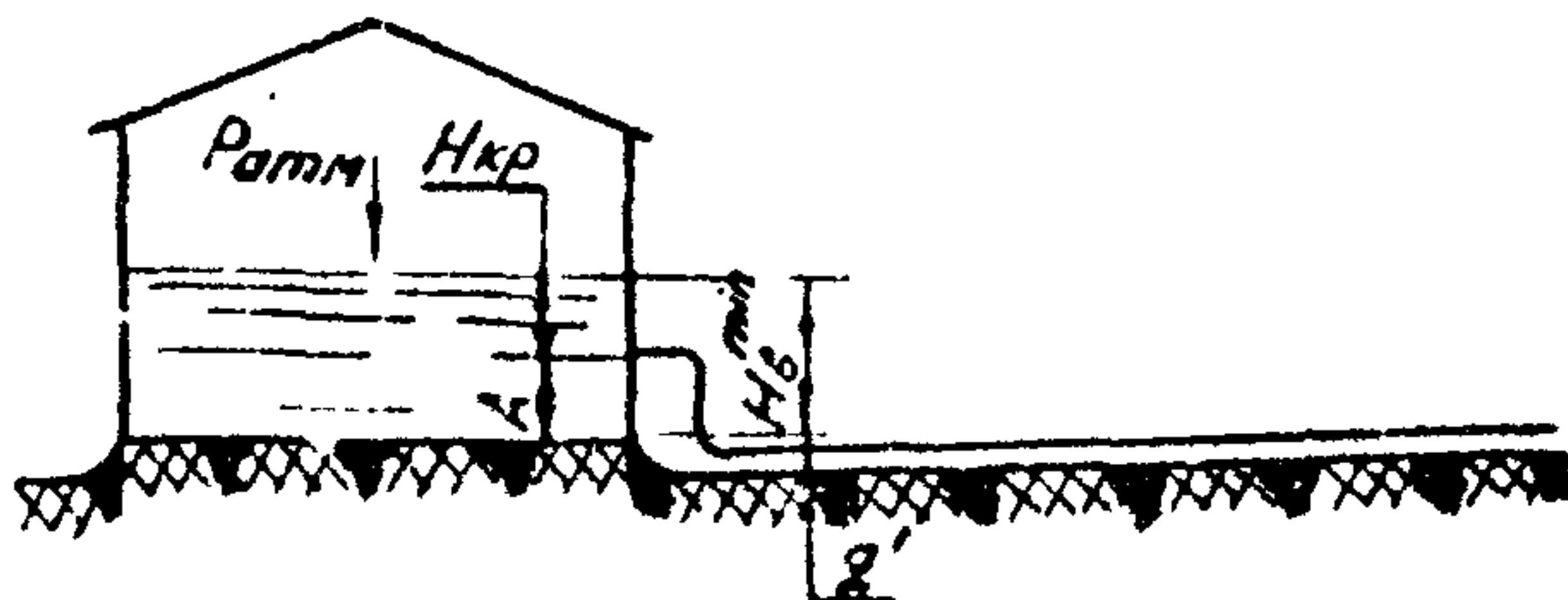


Рис. I Расчетная схема

(2)

$$H_{min} = H_B^{min} \pm Z' = H_{kp} + A \pm Z',$$

где A - расстояние от оси приемо-раздаточного патрубка до дна резервуара;

Z' - расстояние от оси наземного трубопровода до дна резервуара. Знак "+" относится к случаю расположения оси трубопровода ниже дна резервуара и "-" при расположении оси трубопровода выше дна резервуара.

2.2.1. Атмосферное давление на свободную поверхность принимается в зависимости от абсолютной отметки насосной:

$$\cdot \frac{\rho_0}{\rho g} = (10,33 - 0,001 Z) \frac{\rho_0}{\rho}, \quad (3)$$

где Z - отметка насосной от уровня моря, м вод.ст.

ρ_0 - плотность воды, $\text{кг}/\text{м}^3$;

ρ - плотность перекачиваемой жидкости, $\text{кг}/\text{м}^3$;

2.2.2. Определение разницы между отметкой уровня нефти в резервуаре и рассматриваемой точки нефтепровода зависит от расположения расчетного сечения.

Для надземной части нефтепровода, расположенной оооно о приемо-раздаточным патрубком, искомая величина совпадает с критическим напором, соответствующим моменту начала прорыва газовоздушной смеси в приемо-раздаточный патрубок и определяется по формуле:

$$H_{min} = H_{kp} = K_d (0,4 \frac{Q^{0,6}}{d_n^{1,5}} + 0,9) d_n, \quad (4)$$

где K_d - коэффициент, учитывающий поджатие потока, определяемый по рис.2., или для существующих конструкций резервуаров по рис. 3. определяется непосредственно величина H_{kp} .

В общем случае H_{min} определяется по формуле (2).

2.2.3. Гидравлические потери на участке от резервуара до рассматриваемой точки трубопровода определяются в соответствии с РД 39-30-39-78.

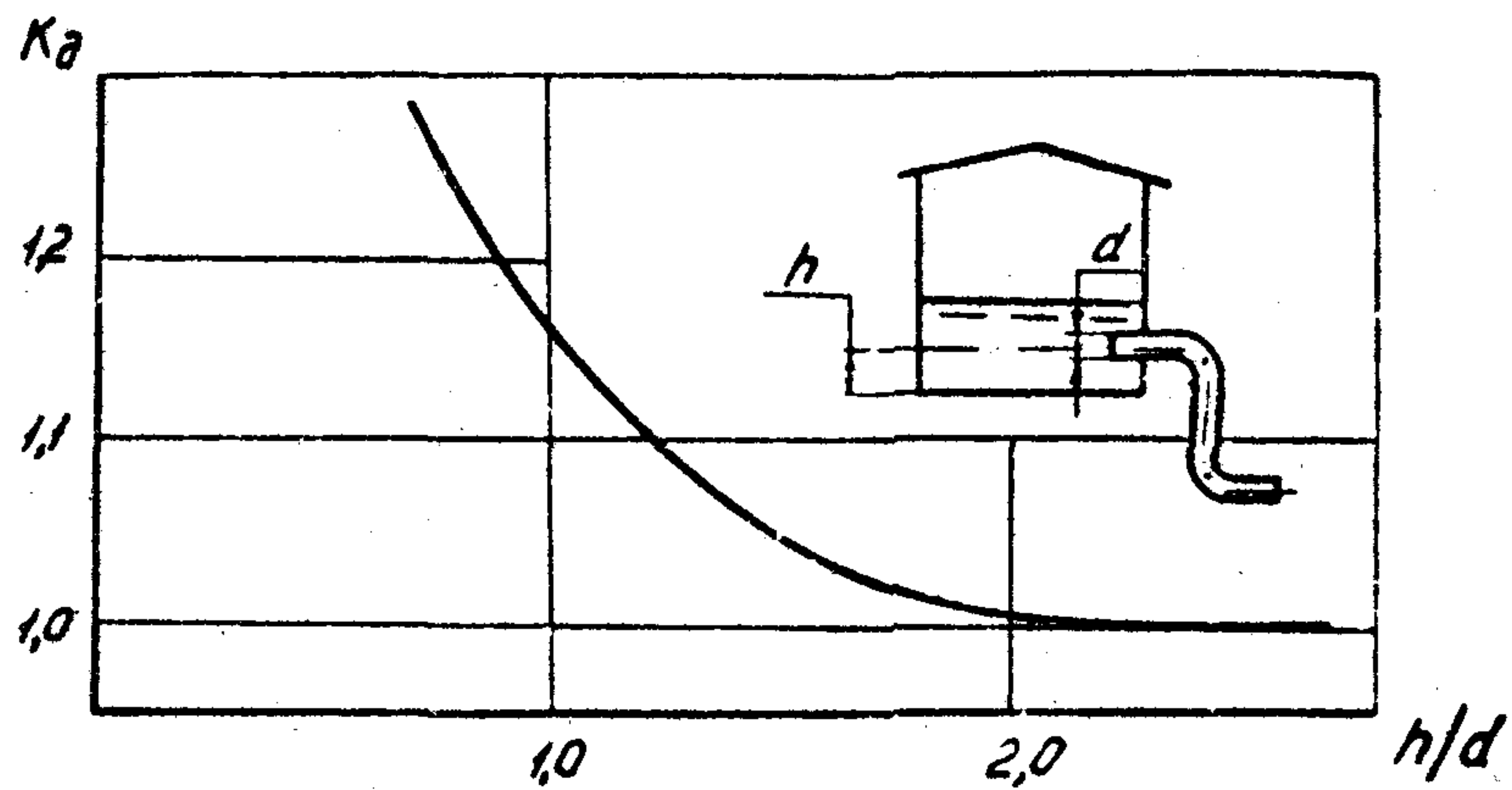


Рис. 2. Значение коэффициента K_d , учитывающего подкатие потока, для различных положений приемо-раздаточного патрубка

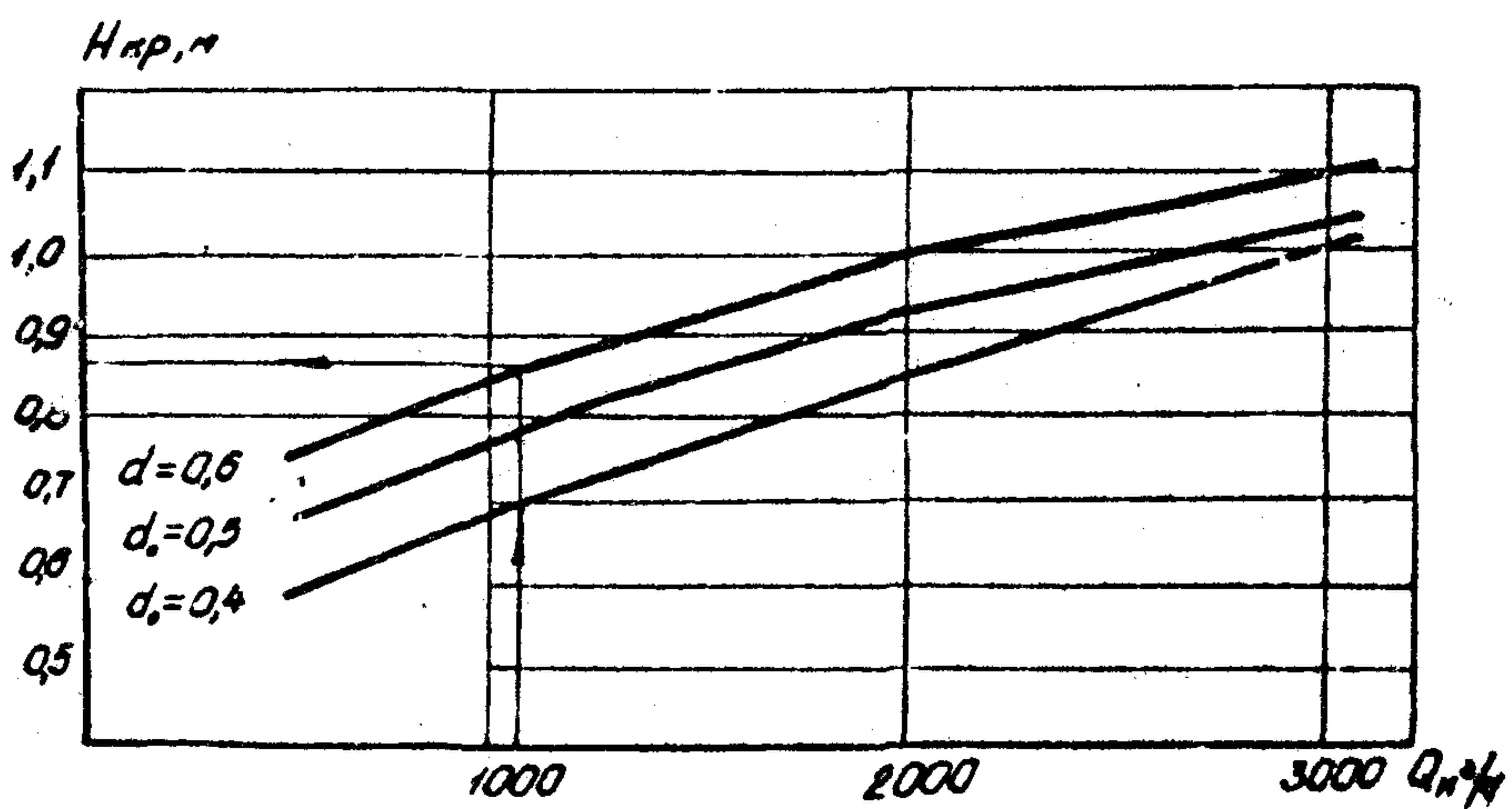


Рис. 3. Зависимость критического напора от расхода через приемо-раздаточный патрубок различного диаметра.

2.2.4. Критическое давление кавитации P_{kp} можно определить с помощью кавитационной трубы, установленной в системе трубопроводной обвязки насосов НПС.

Ввиду отсутствия стандартных методов определения критического давления кавитации за $P_{kp}/\rho g$ можно приближенно принимать давление насыщенных паров перекачиваемой жидкости h_s при температуре перекачки, имея при этом ввиду, что расчет в этом случае будет соответствовать условиям начальной кавитации. Давление насыщенных паров следует принимать по данным лабораторных исследований при соотношении паровой и жидкокой фаз близком к нулю. Давление насыщенных паров, замеренное по методу Рейда $h_s^P/V_p/V_n = -4:1$, пересчитывается по формуле:

$$h_s = h_s^P [1,558 + 0,0053(T-273)], \quad (5)$$

где T – температура перекачиваемой жидкости, град. К.

Для некоторых нефтей можно ориентировочно пользоваться графиком $h_s = f(T)$ (приложение I.).

2.2.5. Критическое число кавитации приемо-раздаточного патрубка, отвода и задвижки определяется в соответствии с рис. 4, 5 и 6.

На рис. 6 F – площадь проходного сечения задвижки, м²;

F_{mp} – площадь проходного сечения трубы, м².

Для полностью открытой задвижки $(F/F_{mp} = 1) \chi_{kp} = 1,2$.

Для тройника

$$\chi_{kp} = \zeta_{B.C.} + 2 - \frac{Q_1^4}{Q_{cb}^4} \cdot \frac{F_{cb}^2}{F_1^2}, \quad (6)$$

где Q_1 и Q_{cb} . F_1 и F_{cb} – расходы и сечения рассчитываемой ветви, по которой подводится жидкость, и сборного трубопровода соответственно;

$\zeta_{B.C.}$ – коэффициент сопротивления на внешнее сужение, определяемый по таблице.

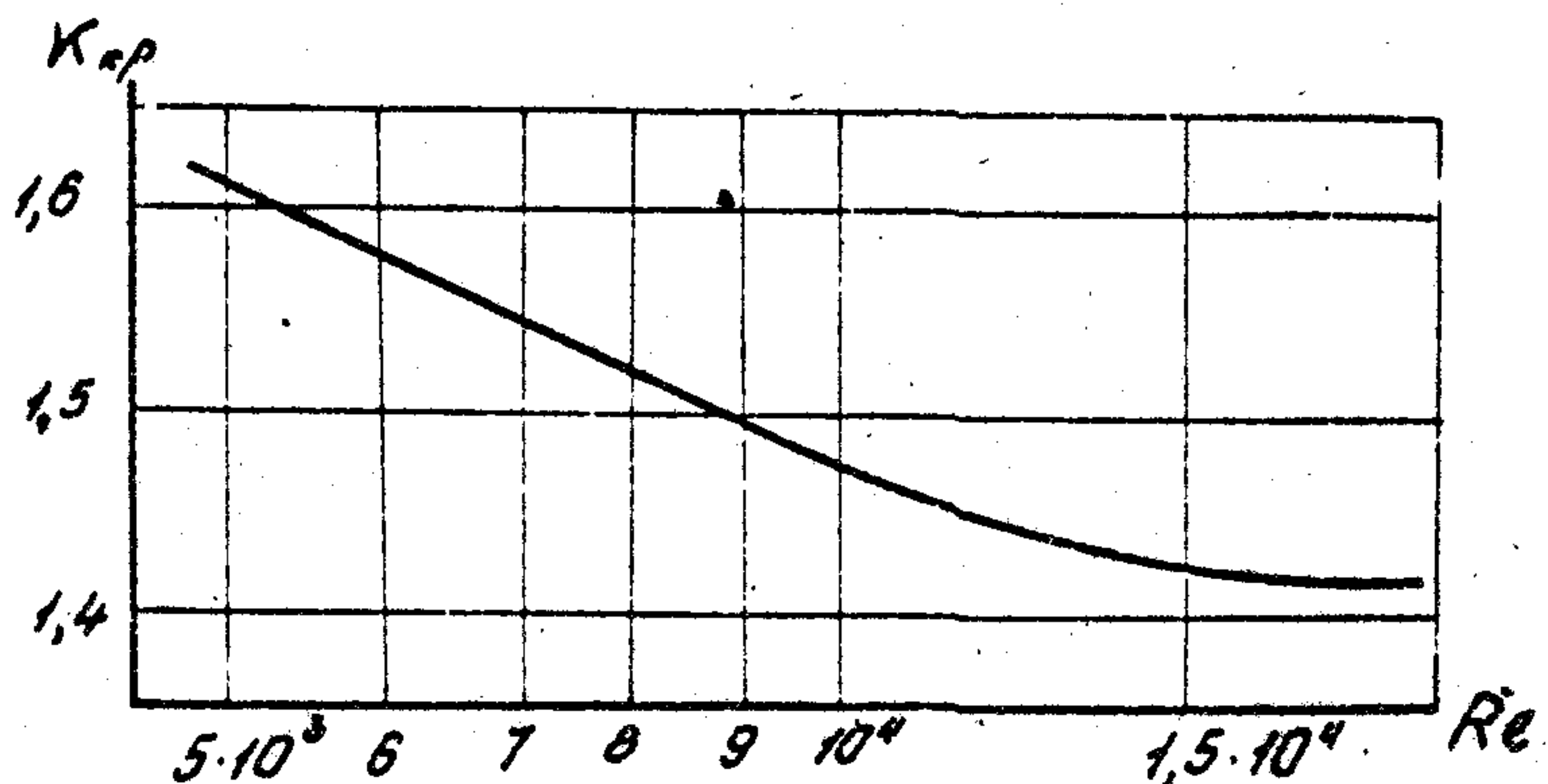


Рис. 4. Критическое число кавитации приемо-раздаточного патрубка в зависимости от числа Рейнольдса

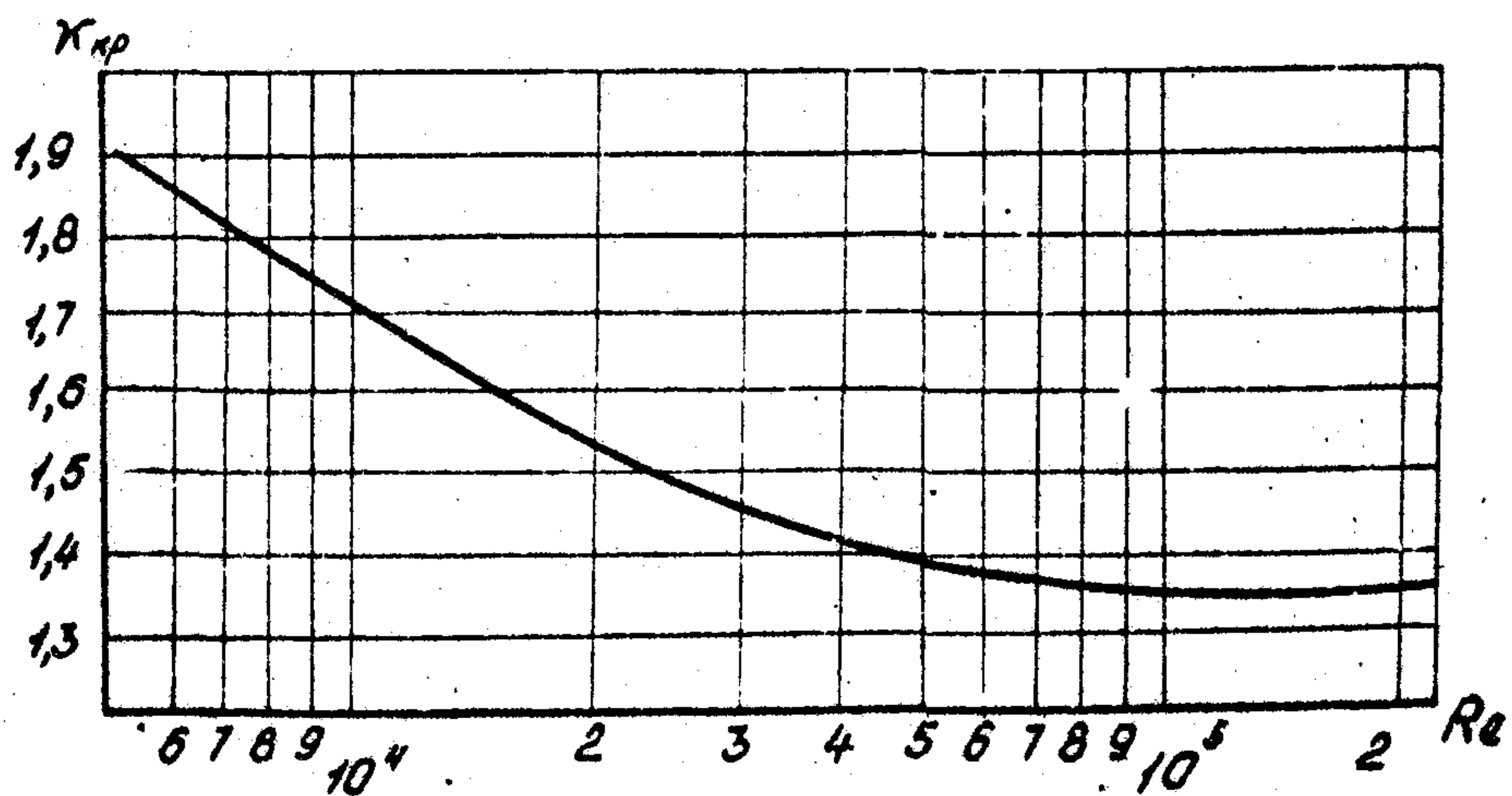


Рис. 5. Критическое число кавитации отвода
 $\delta = 90^\circ$ $R/D = 1,5$ в зависимости от
 числа Рейнольдса

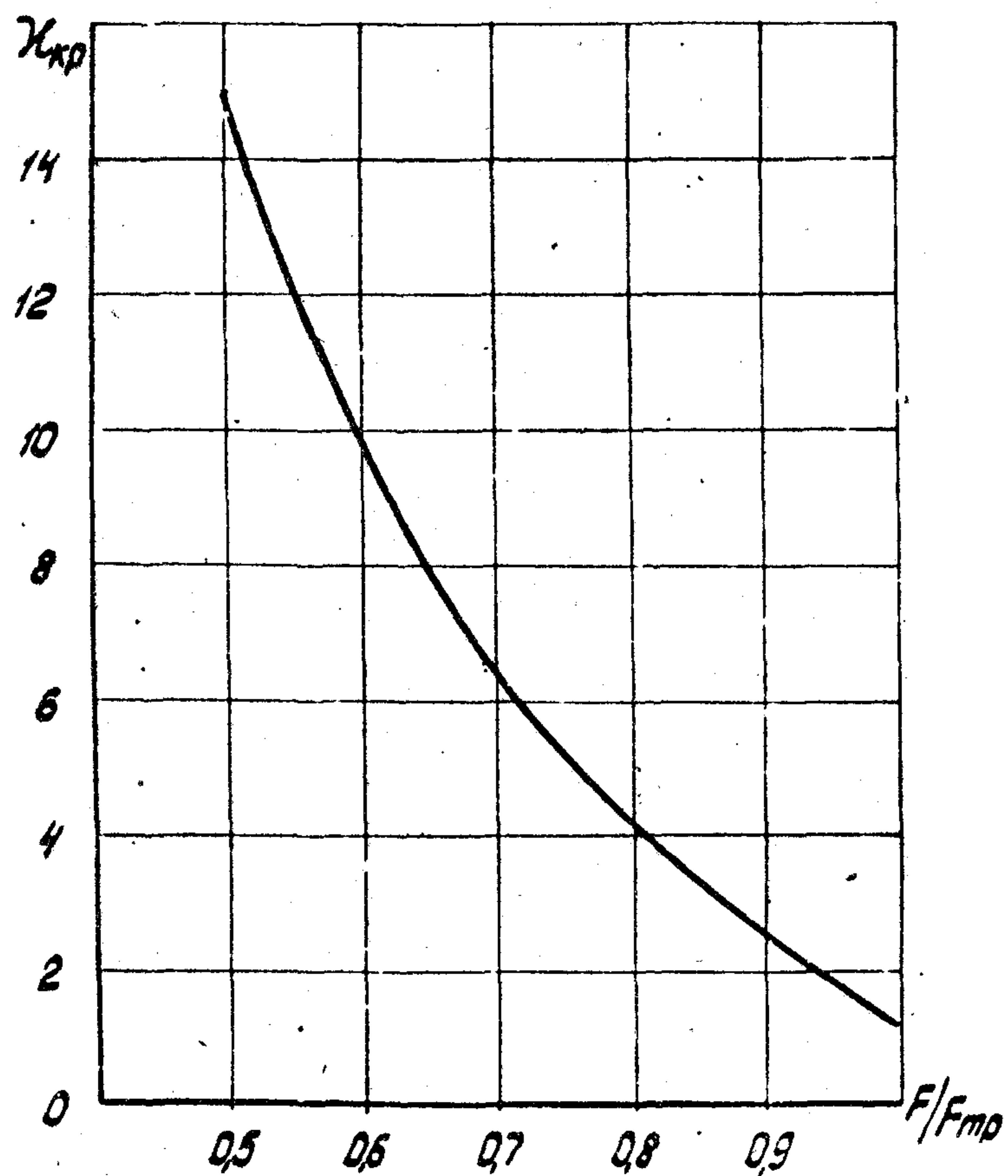


Рис.6. Критическое число кавитации задвижки
в зависимости от степени ее открытия

Таблица

Коэффициенты сопротивления $\zeta_{б.с.}$

| $F'_{c\delta}$ | 0,01 | 0,1 | 0,2 | 0,3 | 0,4 | 0,5 | 0,6 | 0,7 | 0,8 | 0,9 | 1,0 |
|----------------|------|-------|-------|-------|-------|------|-------|------|-------|-------|-----|
| $F'_{c\delta}$ | 10,5 | 10,47 | 10,45 | 10,38 | 10,34 | 10,3 | 10,25 | 10,2 | 10,15 | 10,09 | 10 |
| $\zeta_{б.с.}$ | 10,5 | 10,47 | 10,45 | 10,38 | 10,34 | 10,3 | 10,25 | 10,2 | 10,15 | 10,09 | 10 |

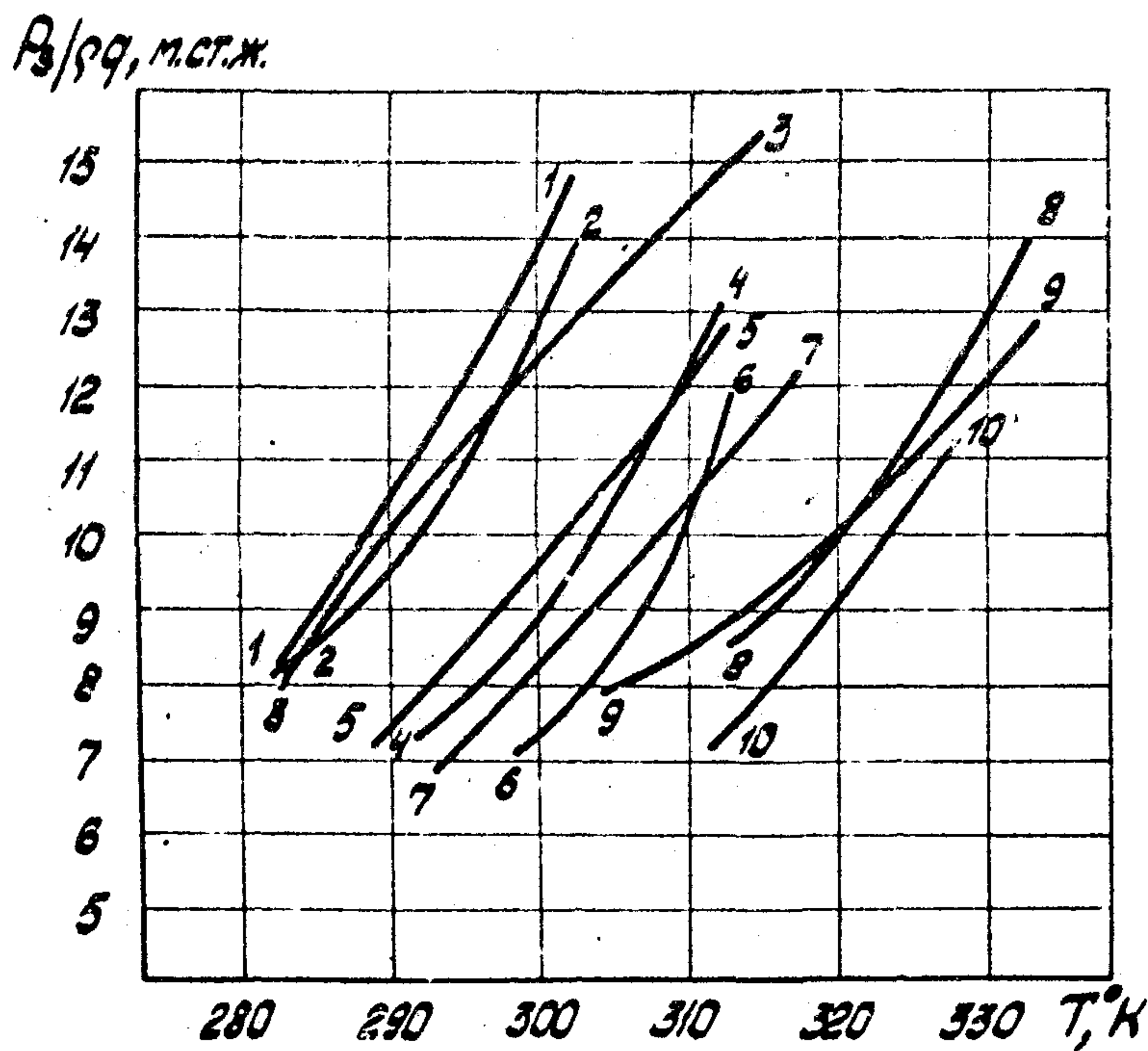
$F'_{c\delta}$ - площадь сборного трубопровода, соответствующая скорости в сборном тройнике для условий минимальных гидравлических потерь при смешении потоков:

$$F'_{c\delta} = \frac{Q_{c\delta}^2}{Q_1 \cdot U_1} \quad (7)$$

В приложении 2 дается пример расчета отвода на кавитационную устойчивость.

Приложение I

Зависимость давления насыщенных паров
нефть от температуры



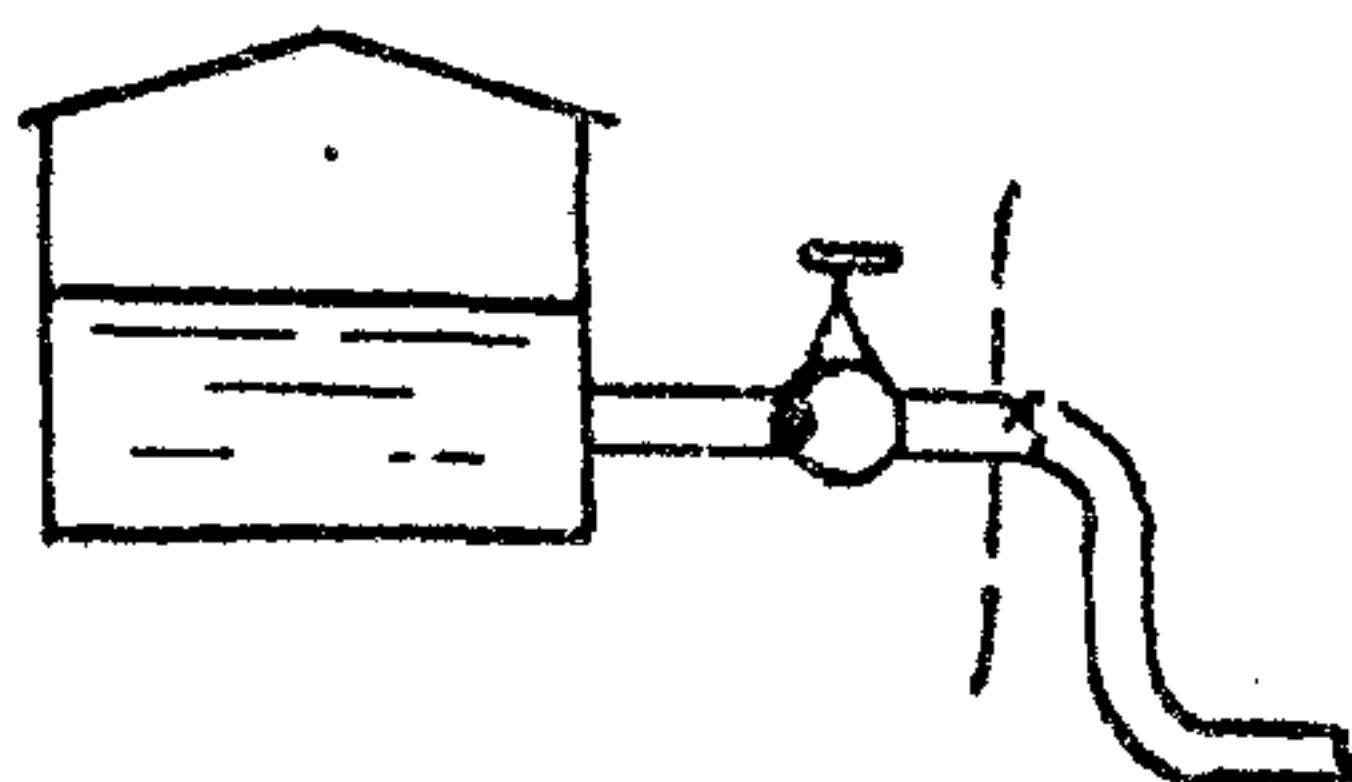
- | | |
|------------------------|-------------------------|
| 1 - барлинская нефть | 6 - ромашкинская нефть |
| 2 - туймазинская нефть | 7 - усть-байкская нефть |
| 3 - самотлорская нефть | 8 - манышлакская нефть |
| 4 - мухановская нефть | 9 - сургутская нефть |
| 5 - орланская нефть | 10 - небитдагская нефть |

Приложение 2

Пример расчета отвода на кавитационную устойчивость.

П.2.1. Исходные данные:

П.2.1.1. Схема надземной части трубопровода.



П.2.1.2. Диаметр приемо-раздаточного патрубка $D_p = 0,6\text{м}$;

П.2.1.3. Расход жидкости через один приемо-раздаточный патрубок $Q = 2500 \text{ м}^3/\text{ч} = 0,695 \text{ м}^3/\text{с}$.

П.2.1.4. Свойства перекачиваемой жидкости для максимальной температуры перекачки ($t = 303^\circ\text{K}$):

плотность $\rho = 860 \text{ кг}/\text{м}^3$;

вязкость кинетическая $\nu = 0,15 \cdot 10^{-4} \text{ м}^2/\text{с}$;

давление насыщенных паров $h_s = \frac{\rho_s}{\rho g} = 10 \text{ м.от.ж.}$

П.2.2. Напор, определяемый атмосферным давлением

$$h_{\text{атм}} = \frac{P_{\text{атм}}}{\rho g} = (10,33 - 0,001 \cdot 100) \frac{1000}{860} = 11,7 \text{ м}$$

П.2.3. Критический напор, соответствующий началу прорыва газово-воздушной смеси в приемо-раздаточный патрубок $H_{kp} = 1,05\text{м}$ (по рис. 3).

П.2.4. Гидравлические потери. Скорость течения жидкости в трубопроводе $V = \frac{4 \cdot Q}{\pi D^2} = \frac{4 \cdot 0,695}{3,14 \cdot 0,6^2} = 2,46 \text{ м}/\text{с}$

число Рейнольдса

$$Re = \frac{UD}{\nu} = \frac{2,46 \cdot 0,6}{0,15 \cdot 10^{-4}} = 9,8 \cdot 10^4 ;$$

коэффициент гидравлического сопротивления

$$\lambda = \frac{0,3164}{\sqrt{Re}} = \frac{0,3164}{\sqrt{9,8 \cdot 10^4}} = 0,018 ;$$

коэффициенты местных сопротивлений

на выходе из резервуара $\zeta_{без} = 0,5$;

задвижки $\zeta_{зад} = 0,15$

Гидравлические потери на участке от резервуара до отвода

(сеч. I-I)

$$h_w = (\lambda \frac{L}{d} + \sum \zeta) \frac{V^2}{2g} = (0,018 \frac{6}{0,6} + 0,65) \frac{2,46^2}{2 \cdot 9,8} = 0,25 \text{ м}$$

II.2.5. Критическое число кавитации отвода

$$\chi_{кр}^{отв} = 1,36 \quad (\text{по рис. 5})$$

II.2.6. Располагаемый напор в расчетном сечении

$$h_{расп} = \frac{P_{atm}}{\rho g} + H_{kr} - h_w \frac{V^2}{2g} = 11,7 + 1,05 - 0,25 = 12,5 \text{ м}$$

II.2.7. Допустимый по условиям кавитации напор в расчетном

сечении $h_{доп} = \chi_{кр} \frac{V^2}{2g} + \frac{P_s}{\rho g} = 1,36 \frac{2,46^2}{2 \cdot 9,8} + 10 = 10,4 \text{ м}$

II.2.8. За основании обеспечения условия $h_{расп} > h_{доп}$ следует, что откачка при указанных конструктивных параметрах свойства нефти в принятом режиме откачки будет проходить без кавитации.

РУКОВОДЯЩИЙ ДОКУМЕНТ
М Е Т О Д И К А
РАСЧЕТА УСЛОВИЯ БЕЗКАВИТАЦИОННОЙ
РАБОТЫ ПОДВОДЯЩИХ НЕФТЕПРОВОДОВ
ПОДПОРНЫХ НАСОСОВ
РД 39-30-496-80

Издание ВНИИСПиНефти
450055, г.Уфа-55, пр.Октября, 144/3

Подписано к печати 7.04.81 П02III
Формат 60x90 1/16 Уч.изд.л. 0,7. Тираж 160 экз. Заказ 84
